

зырька. Степень сжатия (отношение  $R/r$ ) в жидким азоте мала и не превышает 6 (при избыточном давлении 2 атм и температуре 65 К), вследствие чего сжатие пузырька не имеет резкого характера (коллапса), при водящего к излучению акустического импульса, сравнимого по величине с импульсом при пробое. Для повышения степени сжатия необходимо уменьшить значение параметра газосодержания, чего можно добиться путем повышения внешнего давления.

*Поступила 10 X 1978*

#### ЛИТЕРАТУРА

- Бузуков А. А., Тесленко В. С. Сонолюминесценция при фокусировке лазерного излучения в жидкость. — «Письма в ЖЭТФ», 1971, т. 14, № 5.
- Бузуков А. А., Попов Ю. А., Тесленко В. С. Экспериментальное исследование взрывного процесса, вызванного фокусировкой моноимпульсного излучения лазера в воду. — ПМТФ, 1969, № 5.
- Акманов А. Г., Беньковский В. Г., Голубничий П. И., Масленников С. И., Шеманин В. Г. Исследование лазерной сонолюминесценции в жидкости. — «Акуст. журн.», 1973, т. 19, № 5.
- Наугольных К. А., Рой Н. А. Электрические разряды в воде. М., «Наука», 1971.
- Сиротюк М. Г. Экспериментальные исследования ультразвуковой кавитации. — В кн.: Мощные ультразвуковые поля. М., «Наука», 1968.

УДК 534.222.2

#### СТРУКТУРА ФРОНТА УДАРНОЙ ВОЛНЫ В ТВЕРДОЙ ПОРИСТОЙ СРЕДЕ

*С. З. Дунин, В. В. Сурков*

(Москва)

Исследование характера распространения волн в веществах с нарушенной сплошностью представляет интерес по нескольким причинам: изучение ударного разогрева пористого вещества в волнах большой интенсивности позволяет восстановить уравнение состояния сплошного вещества в аномальных условиях (мегабарные давления и температуры порядка температуры плавления) [1]; большинство материалов в естественных условиях не являются сплошными, и характер распространения волн во многом определяется самой структурой твердого тела.

При изучении ударных волн в твердых средах с нарушенной сплошностью следует учитывать следующие обстоятельства. Во-первых, аналогично рассмотрению фронта ударной волны в газах с замедленным возбуждением некоторых степеней свободы [1] исследование структуры ударного перехода в твердых пористых средах необходимо проводить с учетом инерционных свойств среды [2—4]. Так, при ударном нагружении пористого вещества до давлений в десятки килобар (когда влиянием нагрева вещества можно пренебречь) на структуру фронта волны оказывает влияние динамика выборки пор [2—4]. Такое рассмотрение приводит к тому, что давление в веществе оказывается зависящим не только от плотности вещества, но и от ее производных. Во-вторых, теоретические и экспериментальные работы ряда авторов [3—8] указывают на существенное влияние вязких свойств пористого вещества на характер распространения и затухания ударных волн. В-третьих, оценки [2—4,9] показывают, что заметное изменение пористости происходит только тогда, когда вся масса твердого вещества переходит в состояние пластического течения.

В данной работе рассматриваются особенности распространения ударных волн слабой интенсивности, когда влиянием нагрева вещества можно пренебречь (десятка килобар), но сам характер распространения волны во многом определяется поведением пористого тела в пластическом состоянии: заметное влияние на структуру волны оказывает динамика выборки пор.

1. Профиль ударной волны изучается на примере плоской стационарной волны, распространяющейся со скоростью  $D$ . В этом случае все величины (плотность, массовая скорость и т. п.) оказываются зависящими только от одной переменной  $\zeta = x - Dt$  и уравнения сохранения массы и импульса легко интегрируются. Рассматривая среды с малой пористостью, можно пренебречь зависимостью девиатора напряжений от коэффициента пористости [10] и считать его постоянным, близким по величине к пределу текучести твердого вещества. Тогда в системе координат, связанной с волной, уравнения записутся в виде

$$(1.1) \quad \rho_0 D = \rho(D - v), \quad p - p_0 = \rho_0 v D,$$

где  $p$ ,  $v$  и  $\rho$  — давление, массовая скорость и плотность пористой среды соответственно, зависящие от одной переменной  $\zeta$  (давление  $p$  содержит вязкий член, пропорциональный  $dv/d\zeta$ );  $\rho_0$  — давление в упругой среде; начальную плотность  $\rho_0$  считаем равной ее значению в невозмущенной среде. Для получения связи давления и плотности в пластической волне необходимо рассмотреть динамику пластического затекания пор.

В начальном состоянии среда однородна. Разобъем все вещество на одинаковые элементарные ячейки, содержащие по одной поре, считая, что все поры сферические радиуса  $a_0$ . В качестве такой эквивалентной ячейки удобно выбрать сферу. Величина начального радиуса ячейки  $b_0$  должна быть такой, чтобы суммарная масса всех ячеек в единице массы равнялась 1, т. е.  $4\pi N \rho_t (b_0^3 - a_0^3)/3 = 1$ , где  $N$  — число ячеек в единице массы;  $\rho_t$  — плотность твердого вещества. Объемные изменения выделенной ячейки во фронте волны будут характеризовать изменение пористости среды.

Рассмотрим ударные волны, ширина фронта которых  $\Delta$  много больше характерного размера ячеек  $\lambda$ . Тогда относительное изменение макроскопических параметров среды (таких как средняя плотность или массовая скорость) на длине выделенного элемента  $\lambda$  порядка  $(\lambda/\Delta) \ll 1$ . В таком приближении можно считать, что рассматриваемая ячейка во фронте волны участвует в двух независимых движениях: как целое с массовой скоростью среды  $v$ , а также сжимается под действием давления в волне.

Макроскопический параметр пористости  $\alpha$  определим как отношение полного объема выделенной элементарной ячейки с координатами  $x, t$  к объему твердого вещества, заключенного внутри ячейки. Предполагая, что в процессе деформирования распределение напряжений вблизи центра поры остается сферически-симметричным и ячейка сохраняет форму, близкую к полой сфере, находим

$$(1.2) \quad \alpha = b^3/(b^3 - a^3),$$

где  $b$  и  $a$  — внешний и внутренний радиусы эквивалентной сферы в точке  $x$  в момент времени  $t$ . При этом в системе координат, связанной с центром поры, уравнение движения среды, описывающее сжатие ячейки, записывается в виде

$$(1.3) \quad \rho_t du/dt = \partial \sigma_r / \partial r + 2(\sigma_r - \sigma_\theta)/r,$$

где  $u$  — массовая скорость движения вещества к центру поры;  $\sigma_r$  и  $\sigma_\theta = \sigma_\phi$  — радиальная и тангенциальная составляющие локального тензора напряжений. На поверхности поры выполняется условие

$$\sigma_r|_{r=a} = 0.$$

Плотность твердого вещества  $\rho_t$  в рассматриваемом диапазоне давлений постоянна. Тогда изменение плотности среды  $\rho$  происходит только за счет изменения пористости. Как следует из (1.2),

$$(1.4) \quad \rho = \rho_t / \alpha.$$

Связь между начальным положением точки  $r_0$  и ее координатой  $r$  в момент времени  $t$  можно получить из условий сохранения массы ячейки и несжимаемости твердой компоненты среды

$$(1.5) \quad r^3 - r_0^3 = a^3 - a_0^3, \quad b^3 - a^3 = b_0^3 - a_0^3.$$

Дифференцируя по времени первое соотношение в (1.5), находим из (1.2), (1.5) массовую скорость.

$$(1.6) \quad u = \dot{r} = \frac{a_0^3 \dot{\alpha}}{3(\alpha_0 - 1)r^2}.$$

Твердотельная фаза вещества подчиняется условию течения вязкоупругих сред [11]

$$(1.7) \quad \sigma_r - \sigma_\theta = Y + 2\eta(\partial u / \partial r - u/r),$$

где  $Y$  и  $\eta$  — предел текучести и коэффициент вязкости твердого вещества. Используя формулы (1.6), (1.7) и учитывая, что давление в твердой компоненте среды  $p_t$  выражается формулой

$$p_t = -(\sigma_r + 2\sigma_\theta)/3,$$

перепишем уравнение (1.3) в виде

$$(1.8) \quad \rho_t d\dot{u} / dt = -\partial p_t / \partial r + 2Y/r.$$

Коэффициент вязкости при этом войдет только в граничные условия

$$(1.9) \quad p_t = \frac{2Y}{3} + \frac{4\eta}{3} \left( \frac{\partial u}{\partial r} - \frac{u}{r} \right) \Big|_{r=a}.$$

Проинтегрируем уравнение (1.8) по радиусу от  $a$  до  $r$  с учетом формул (1.4), (1.6) и условия (1.9). В результате получим

$$(1.10) \quad p_t(r, t) = \frac{2Y}{3} + 2Y \ln \frac{r}{a} + \frac{4\eta \rho_t \dot{r}}{3\rho (\rho_t - \rho)} - \\ - \frac{\rho_t^2 a_0^2}{3(\alpha_0 - 1)\rho^2} \left[ \left( -\ddot{\rho} + \frac{2\dot{\rho}^2}{\rho} \right) \left( \frac{1}{a} - \frac{1}{r} \right) - \frac{a_0^3 \rho_t \dot{\rho}^2}{6(\alpha_0 - 1)\rho^2} \left( \frac{1}{a^3} - \frac{1}{r^4} \right) \right].$$

Усредненное распределение давлений (1.10) в окрестности поры по объему элементарной ячейки и используя соотношения (1.2) и условие несжимаемости твердого вещества, находим

$$(1.11) \quad p = p_s(\rho) + p_v(\rho, \dot{\rho}) + p_d(\rho, \dot{\rho}, \ddot{\rho}),$$

$$\text{где } p_s(\rho) = \frac{2Y}{3} \ln \frac{\rho_t}{\rho_t - \rho}; \quad p_v(\rho, \dot{\rho}) = \frac{4\eta \dot{\rho}}{3(\rho_t - \rho)};$$

$$p_d(\rho, \dot{\rho}, \ddot{\rho}) = \frac{\rho_t a_0^2}{(\alpha_0 - 1)^{2/3} \rho^{8/3}} \left[ \left\{ \frac{\rho_t^{2/3} - (\rho_t - \rho)^{2/3}}{2} - \frac{\rho}{3(\rho_t - \rho)^{1/3}} \right\} \times \right.$$

$$\times(-\ddot{\rho\rho}+2\dot{\rho}^2)+\left\{\frac{1}{\rho_T^{1/3}}-\frac{1}{(\rho_T-\rho)^{1/3}}+\frac{\rho}{3(\rho_T-\rho)^{4/3}}\right\}\frac{\dot{\rho}^2\rho_T}{6}\Bigg].$$

Первые два члена в (1.11) совпадают с соответствующими слагаемыми, полученными в работах [3, 4], а последний отличается, поскольку авторы этих работ использовали статическую связь среднего давления с давлением на поверхности ячейки (при динамическом рассмотрении эта связь должна учитывать динамику поведения пористого вещества).

В выражение для  $p$  можно также добавить член, учитывающий вязкое сопротивление среды при движении ячейки как целого. Оценки показывают, что это слагаемое по порядку величины в  $1/(\alpha - 1)$  раз меньше члена, описывающего вязкое трение при движении вещества к центру поры.

2. Соотношения (1.1), (1.11), где надо перейти к переменной  $\zeta$ , описывают профиль стационарной пластической волны. Давление в упругой волне, соответствующее переходу вещества в пластическое состояние, равно

$$p_0 = \frac{2Y}{3} \ln \frac{\rho_T}{\rho_T - \rho_0}.$$

Уравнение структуры ударного фронта удобно записать в безразмерном виде, разрешенном относительно функции  $\alpha$ ,

$$(2.1) \quad \begin{aligned} & \frac{1}{(\alpha_0 - 1)^{2/3}} \left\{ \left[ \frac{\alpha^{2/3} - (\alpha - 1)^{2/3}}{2} - \frac{1}{3(\alpha - 1)^{1/3}} \right] \frac{\alpha''}{\alpha} + \right. \\ & \left. + \left[ \frac{1}{\alpha^{1/3}} - \frac{1}{(\alpha - 1)^{1/3}} + \frac{1}{3(\alpha - 1)^{4/3}} \right] \frac{\alpha'^2}{6\alpha} \right\} = \\ & = \frac{\alpha_0 - \alpha}{\alpha_0^2} + \frac{2k^2}{3} \ln \frac{\alpha_0(\alpha - 1)}{\alpha(\alpha_0 - 1)} - \frac{4kR\alpha'}{3\alpha(\alpha - 1)}, \end{aligned}$$

где введены безразмерные переменная  $\xi = \zeta/a_0$  (штрих означает дифференцирование по  $\xi$ ) и параметры  $k$  и  $R$ :

$$k = \frac{1}{D} \sqrt{\frac{Y}{\rho_T}}, \quad R = \frac{\eta}{a_0 \sqrt{Y \rho_T}}.$$

Величина  $\bar{K}^{-1}$  является аналогом числа Рейнольдса для твердых сред.

Для волны, распространяющейся в положительном направлении оси  $\xi$ , граничные условия уравнения (2.1) имеют вид

$$(2.2) \quad \alpha' \rightarrow 0 \text{ и } \alpha \rightarrow \alpha_0 \text{ при } \xi \rightarrow +\infty.$$

Решения уравнения (2.1), не проходящие через особую точку  $\alpha = 1$ ,  $\alpha' = 0$ , описывают в общем случае нелинейные затухающие или периодические колебания. Следует отметить, что ввиду необратимости диаграммы нагрузки — разгрузки пористых тел [12] формулы (1.11), (2.1) применимы только на фазе нагружения, когда  $\alpha' > 0$  и  $\rho' < 0$ . При разгрузении среда ведет себя как упругая или упрогопластическая (причем область пластического течения очень невелика [12]) и не описывается соотношениями (1.11), (2.1). В дальнейшем будем изучать поведение решения до первой поворотной точки (удовлетворяющей условию  $\alpha' = 0$ ) на интегральной кривой, описывающей решение (2.1).

3. Рассмотрим отдельно влияние параметров  $R$  и  $k$  на профиль ударной волны. Если вязкость твердотельной фазы близка к нулю, то можно положить  $R = 0$ . Уравнение (2.1) при этом один раз интегрируется. С учетом (2.2) получаем

$$(3.1) \quad \alpha'^2 = \frac{2(\alpha_0 - 1)^{2/3}}{3} \left[ \frac{(\alpha_0 - \alpha)^2(2\alpha + \alpha_0)}{2\alpha_0^2} - k^2 \left\{ \alpha_0 - \alpha + \ln \frac{\alpha_0 - 1}{\alpha - 1} + \alpha^2 \ln \frac{\alpha_0(\alpha - 1)}{\alpha(\alpha_0 - 1)} \right\} \right] / h(\alpha),$$

$$h(\alpha) = (\alpha - 1)^{-1/3}/3 + [(\alpha - 1)^{2/3} - \alpha^{2/3}]/2.$$

Знаменатель в (3.1) больше нуля при любых  $\alpha > 1$ , поэтому выражение (3.1) имеет смысл, когда числитель тоже больше нуля. В частности, требование  $\alpha'^2 > 0$  при  $\alpha \rightarrow \alpha_0$  приводит к условию

$$(3.2) \quad k^2 \leq k_0^2 = \frac{3(\alpha_0 - 1)}{2\alpha_0} \text{ или } D \geq D_{\min} = \sqrt{\frac{2Y\alpha_0}{3\rho_T(\alpha_0 - 1)}}.$$

Величина  $D_{\min}$  есть минимальная скорость распространения ударных волн в рассматриваемых пористых средах [13].

Если в поворотной точке  $\alpha = \alpha_1 > 1$ , то обращение  $\alpha'$  в нуль эквивалентно обращению в нуль числителя в (3.1). Таким образом, равенство нулю числителя в (3.1) определяет связь между  $k$  и величиной  $\alpha$  в точке поворота, а с учетом соотношений (1.1), (1.4) — кривую максимальных отклонений плотности и давления при  $R = 0$  от их первоначальных значений. Сравнение ее с кривой статического сжатия показывает, что при заданной амплитуде давления минимальная пористость  $\alpha_1$  оказывается меньше в динамическом случае. Поры во фронте волны сжимаются таким образом, что их радиус оказывается меньше своей равновесной величины, определяемой как результат статического сжатия.

Рассмотрим ударную волну слабой интенсивности, в которой изменение плотности и пористости мало,  $(\alpha_0 - \alpha_1) \ll 1$ . Учитывая, что  $\alpha'$  обращается в нуль дважды при  $\alpha = \alpha_0$  и  $\alpha = \alpha_1$ , используем параметр малости, разлагая правую часть выражения (3.1) сначала по  $(\alpha_0 - \alpha)$ , а затем по  $(\alpha - \alpha_1)$ :

$$(3.3) \quad \alpha'^2 = \frac{2}{3}(\alpha_0 - 1)^{2/3} \left[ \frac{1}{\alpha_0^2} + \frac{k^2}{(\alpha_1 - 1)^2} \right] (\alpha_0 - \alpha)^2 (\alpha - \alpha_1) / h(\alpha_1).$$

При этом должно выполняться соотношение, вытекающее из условия  $\alpha' = 0$  при  $\alpha = \alpha_1$ :

$$(3.4) \quad \frac{2\alpha_1 + \alpha_0}{2\alpha_0^2} - \frac{k^2}{(\alpha_1 - 1)} = 0 \text{ или } D = \sqrt{\frac{2Y\alpha_0^2}{\rho_T(\alpha_1 - 1)(2\alpha_1 + \alpha_0)}} \geq D_{\min}.$$

Наличие особой точки  $\alpha = 1$  ограничивает область сходимости рядов при разложении по малому параметру. Поэтому используемое приближение применимо при условии

$$(3.5) \quad (\alpha_0 - \alpha_1)/(\alpha_1 - 1) < 1 \text{ или } \alpha_0 + 1 < 2\alpha_1.$$

Интегрируя (3.3) и полагая константу интегрирования, которая определяет положение точки отсчета, равной нулю, получаем уравнение волнового профиля в виде

$$(3.6) \quad \alpha - \alpha_1 = (\alpha_0 - \alpha_1) \operatorname{th}^2(\zeta/\Delta),$$

где

$$\Delta = \frac{2a_0\alpha_0}{(\alpha_0 - 1)^{1/3}} \sqrt{\frac{3(\alpha_1 - 1)h(\alpha_1)}{(\alpha_0 + 4\alpha_1 - 2)(\alpha_0 - \alpha_1)}}.$$

Формула (3.6) описывает уединенную симметричную волну. Однако решение применимо только на фазе нагрузки в интервале значений  $\zeta$  от 0 до  $\infty$ . При  $\zeta < 0$  до следующей поворотной точки связь давления с плотностью определяется упругим поведением пористого вещества. Таким образом, при отрицательных значениях  $\zeta$  профиль волны носит сложный колебательный характер. Эффективная ширина фронта слабой ударной волны  $\Delta$  оказывается не зависящей от свойств твердотельной фазы и определяется только геометрией норового пространства. Начальное требование  $\Delta \gg \lambda > a_0$  выполняется при условии  $\sqrt{\alpha_0 - \alpha_1} \ll 1$ .

4. Рассмотрим случай, когда вязкость твердого вещества велика и инерционными членами в (2.1) можно пренебречь. Уравнение структуры фронта волны формально можно получить из (2.1), устремив  $a_0$  к нулю. В результате получим

$$(4.1) \quad \frac{4k\bar{R}}{3\alpha(\alpha-1)} \frac{d\alpha}{d\zeta} = \frac{\alpha_0 - \alpha}{\alpha_0^2} + \frac{2k^2}{3} \operatorname{int} \frac{\alpha_0(\alpha-1)}{\alpha(\alpha_0-1)},$$

где  $\bar{R} = \eta/V\rho_t Y$ . Учитывая, что во фронте волны нагрузки  $d\alpha/d\zeta > 0$ , находим, что  $D \geq D_{\min}$ , где  $D_{\min}$  определяется формулой (3.2). Решим уравнение (4.1) для слабой ударной волны. Разлагая (4.1) по малому параметру так же, как в п. 3, получаем следующее выражение:

$$(4.2) \quad \frac{d\alpha}{d\zeta} = \frac{(\alpha_0 - \alpha)(\alpha - \alpha_1)(2\alpha_1 - 1)\sqrt{3}}{2\bar{R}\alpha_0\sqrt{2\alpha_1(\alpha_1 - 1)}}.$$

При этом должны выполняться соотношения, аналогичные (3.4), (3.5). Интегрируя (4.2) и полагая константу интегрирования равной нулю, находим

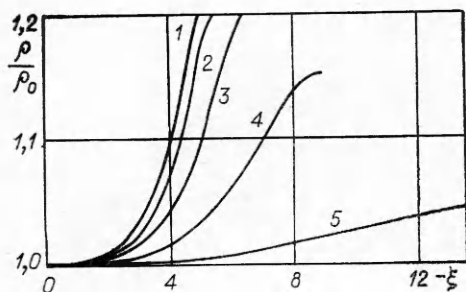
$$(4.3) \quad \alpha = \frac{\alpha_0 \exp(\zeta/\Delta) + \alpha_1}{\exp(\zeta/\Delta) + 1},$$

где

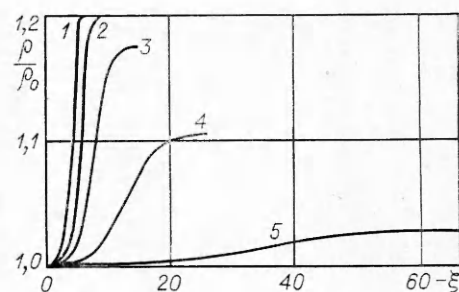
$$\Delta = \frac{2\bar{R}\alpha_0\sqrt{2\alpha_1(\alpha_1 - 1)}}{(\alpha_0 - \alpha_1)(2\alpha_1 - 1)\sqrt{3}}.$$

Минимальная величина пористости  $\alpha_1$  достигается при  $\zeta \rightarrow -\infty$ . Колебания во фронте отсутствуют, и профиль волны имеет монотонный характер. Ударная адиабата вещества совпадает с кривой статического сжатия. Условие  $\Delta \gg \lambda$  выполняется, если  $\bar{R}/(\alpha_0 - \alpha_1) \gg b_0$ .

5. Найдем асимптотику решения уравнения (2.1) для слабой ударной волны с учетом инерционных и вязких членов. Сравним по порядку величины слагаемые, входящие в инерционный член. Поскольку  $\alpha'' \sim (\alpha_0 - \alpha)/\xi^2$ , а  $\alpha'^2 \sim (\alpha_0 - \alpha)^2/\xi^2$  и для слабой ударной волны  $(\alpha_0 - \alpha) \ll 1$ , вторым слагаемым, пропорциональным  $\alpha'^2$ , можно пренебречь по сравнению с первым. Разлагая далее коэффициенты при производных



Фиг. 1



Фиг. 2

и свободный член и вводя переменную  $\gamma = \alpha - \alpha_0$ , приходим к следующему асимптотическому уравнению:

$$(5.1) \quad f(\alpha_0) \gamma'' - kRg(\alpha_0) \gamma' - (1 - k^2/k_0^2)(\gamma/\alpha_0) = 0,$$

где

$$f(\alpha_0) = (\alpha_0 - 1)^{-2/3} h(\alpha_0); \quad g(\alpha_0) = (4/3)(\alpha_0 - 1)^{-1}.$$

При  $\alpha_0 > 1$  функции  $f$  и  $g$  строго больше нуля. Решение уравнения (5.1) при граничных условиях (2.2) дает

$$(5.2) \quad \alpha_0 - \alpha = c \exp(-\xi/\Delta),$$

где

$$\Delta = \frac{2a_0 f(\alpha_0)}{-kRg(\alpha_0) + \sqrt{[kRg(\alpha_0)]^2 + (1 - k^2/k_0^2) 4f(\alpha_0)/\alpha_0}};$$

$c$  — константа интегрирования.

Рассмотрим два предельных случая. Если вязкость твердого вещества мала, то, разлагая (5.2) по малому параметру  $R$ , получаем следующее выражение для характерного размера  $\Delta$ , на котором происходит изменение амплитуды в  $e$  раз:

$$(5.3) \quad \Delta = a_0 \sqrt{\frac{\alpha_0 f(\alpha_0)}{(1 - k^2/k_0^2)}} \left\{ 1 + \frac{kRg(\alpha_0)}{2 \sqrt{f(\alpha_0)(1 - k^2/k_0^2)/\alpha_0}} \right\}.$$

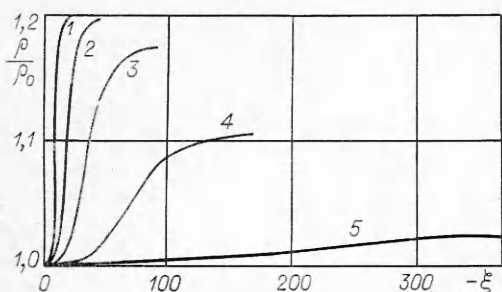
Формула (5.3) согласуется с результатом, полученным в п. 3 для случая  $R = 0$ .

Если параметр  $R$  не мал, то соотношение (5.2) можно упростить, воспользовавшись тем, что для слабой волны  $k \sim k_0$ . В результате имеем

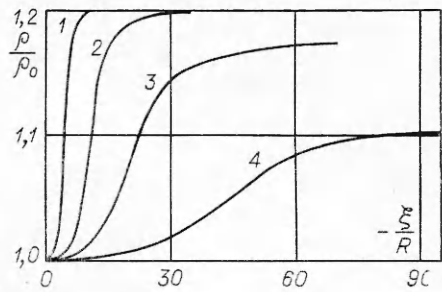
$$\Delta = \frac{\alpha_0 g(\alpha_0) k \bar{R}}{(1 - k^2/k_0^2)} \left\{ 1 + \frac{(1 - k^2/k_0^2) f(\alpha_0)}{\alpha_0 g^2(\alpha_0) k^2 R^2} \right\}.$$

Величина  $\Delta$  оказывается практически не зависящей от радиуса пор  $a_0$  и определяется в основном величиной параметра  $\bar{R}$  (см. п. 4).

6. В общем случае уравнение (2.1) интегрировалось численно. Результаты расчетов профиля ударной волны при некоторых значениях параметров  $R$  и  $k$  приведены на фиг. 1—4. Начальная пористость вещества  $\alpha_0 = 1, 2$ , при которой  $k_0 = 0,5$ . Кривые 1—5 на фиг. 1—4 соответствуют



Фиг. 3



Фиг. 4

$k = 0,1; 0,2; 0,3; 0,4; 0,475$ . При  $R = 0$  (фиг. 1) ширина фронта ударной волны порядка нескольких радиусов пор  $a_0$ . Фронт волны на фиг. 2, 3, соответствующий значениям  $R = 0,24$  и  $1,6$ , более растянут. Причем кривые 5 уже хорошо описываются формулой (4.3), полученной для слабой волны в пренебрежении инерционными членами в уравнении (2.1).

На фиг. 4 приведены результаты расчетов при  $\bar{R} > 10$ . В этом диапазоне изменения  $R$  инерционными слагаемыми можно пренебречь всюду, за исключением малой области, где  $\alpha \rightarrow 1$ , при этом профиль волны с достаточной степенью точности описывается формулой (4.1). Параметр  $R$  для реальных сред изменяется в очень широких пределах, примерно от  $10^{-2}$  до  $10^3 - 10^4$ . Это связано с тем, что вязкость  $\eta$  и характерный размер пор для различных веществ, согласно экспериментальным данным [4-7], различаются на несколько порядков.

7. Проведенный в работе анализ структуры ударного фронта в вязко-пластической пористой среде с учетом динамики затекания пор показывает, что основные закономерности распространения ударных волн определяются сложной зависимостью давления от плотности и ее производных. Эта зависимость найдена из рассмотрения динамического поведения во фронте волны элементарных ячеек среды, содержащих поры.

Ширина фронта и профиль волны зависят от трех безразмерных параметров  $\alpha_0$ ,  $k = \sqrt{Y/(p_t D^2)}$ ,  $R = \eta/(a_0 \sqrt{Y p_t})$ , причем существование ударных пластических волн возможно только при условии  $k \leq k_0$  или  $D \geq D_{\min}$ .

Исследование аналитического решения, описывающего слабую ударную волну в пренебрежении вязкостью, показывает, что ширина фронта  $\sim a_0 / \sqrt{\alpha_0 - \alpha_1}$  и определяется в основном геометрией порового пространства. Если в уравнениях можно пренебречь динамическими членами, то характерный размер фронта слабой ударной волны зависит от числа  $\bar{R} = \eta / \sqrt{Y p_t}$  и по порядку величины равен  $\bar{R} / (\alpha_0 - \alpha_1)$ .

Профиль сильной ударной волны, полученный численными методами, в значительной степени зависит как от скорости ударной волны, так и от свойств пористой среды (параметров  $R$  и  $\alpha_0$ ). При  $R \geq 10$  инерционными эффектами при пластическом затекании пор можно пренебречь, и структура фронта ударной волны определяется в основном вязкопластическими свойствами пористой среды и скоростью распространения волны.

Поступила 27 IX 1978

## ЛИТЕРАТУРА

1. Зельдович Я. Б., Райзэр Ю. П. Физика ударных волн и высокотемпературных гидродинамических явлений. М., «Наука», 1966.
2. Carroll M. M., Holt A. C. Steady waves in ductile porous solids.—«J. Appl. Phys.», 1973, vol. 44, N 10.
3. Holt A. C., Carroll M. M., Butcher B. M. Application of a new theory for the pressure-induced collapse of pores in ductile materials.—In: Proc. of Int. Symp. «Pore Structure and Properties of Materials», Vol. 5. Prague, Academia, 1974.
4. Butcher B. M., Carroll M. M., Holt A. C. Shock wave compaction of porous aluminum.—«J. Appl. Phys.», 1974, vol. 45, N 9.
5. Белинский И. В., Христофоров Б. Д. Вязкость NaCl при ударном сжатии.—ПМТФ, 1968, № 1.
6. Ляхов Г. М. Основы динамики взрывных волн в грунтах и горных породах. М., «Недра», 1974.
7. Григорян С. С., Ляхов Г. М., Паршуков П. А. Сферические взрывные волны в грунтах по измерениям напряжений и деформаций.—ПМТФ, 1977, № 1.
8. Ляхов Г. М., Охитин В. И. Плоские волны в нелинейных вязких многокомпонентных средах.—ПМТФ, 1977, № 2.
9. Carroll M. M., Holt A. C. Static and dynamic pore-collapse relation for ductile porous materials.—«J. Appl. Phys.», 1972, vol. 43, N 4.
10. Грин Р. Дж. Теория пластичности пористых тел.—Сб. пер. Механика, 1973, № 4.
11. Кошелев Э. А. О развитии камуфлетной полости при взрыве в мягком грунте.—ПМТФ, 1975, № 2.
12. Bhatt J. J., Carroll M. M., Schatz J. F. A spherical model calculation for volumetric response of porous rocks.—«Trans. ASME», 1975, E42, N 2.
13. Дунин С. З., Сироткин В. К., Сурков В. В. О распространении пластических волн в пористых средах.—«Изв. АН СССР. МТТ», 1978, № 3.

УДК 539.374

ЧИСЛЕННОЕ МОДЕЛИРОВАНИЕ ВОЛН СЖАТИЯ  
И РАЗРЕЖЕНИЯ В МЕТАЛЛАХ

B. M. Фомин, Э. М. Хакимов

(Новосибирск)

Рассматриваются различные возможности математического описания поведения среды при динамическом деформировании как упругопластических [1—7], так и нелинейных вязкоупругопластических моделей, учитывающих микроструктурные механизмы пластичности [8—11].

**1. Основные уравнения и соотношения, определяющие процесс.** Среда, по которой распространяются волны сжатия и разрежения, принимается изотропной. Состояние этой среды характеризуется распределением тензоров деформаций  $\dot{\varepsilon}_i$  и напряжения  $\dot{\sigma}_i$ , вектором скорости  $\dot{u}$  и внутренней энергией  $E$ . Здесь  $i = 1, 2, 3$  есть главные оси тензоров напряжения и деформаций. Тензор приращения деформации представим в виде суммы  $\dot{\varepsilon}_i = \dot{\varepsilon}_i^e + \dot{\varepsilon}_i^p$ , где  $\dot{\varepsilon}_i^e, \dot{\varepsilon}_i^p$  — упругие и пластические тензоры деформаций соответственно. Упругое деформирование характеризуется зависимостью  $\dot{\sigma}_i = \lambda \dot{\delta} + 2\mu \dot{\varepsilon}_i^e$  ( $i = 1, 2, 3$ ), где  $\dot{\delta} = \sum_{i=1}^3 \dot{\varepsilon}_i$ ;  $\lambda$  и  $\mu$  — параметры Ламэ и пластические составляющие удовлетворяют условию  $\sum_{i=1}^3 \dot{\varepsilon}_i^p = 0$ . Точка означает производную по времени вдоль траектории элемента среды.